

V. Wechselwirkende Felder und Feynman-Diagramme

V.1 Wechselwirkungen

freie Felder: Fourier-Moden entkoppeln

↔ unabh. "harmonische Oszillatoren"

für jeden Impuls

↔ lineare Bewegungsgleichungen

Wechselwirkungen: koppeln verschiedene Moden

(und die zugehörigen Teilchen)

↔ Streuprozesse, Teilchenzerzeugung und -vernichtung

↔ nichtlineare Bewegungsgleichungen

↔ Zusatzterme \mathcal{L}_{WW} ($\leftrightarrow \mathcal{H}_{WW}$)

Kausalität: nur "lokale" WW-Terme

- $[\phi(x)]^n$ erlaubt

- $\phi(x)\phi(y)$ nicht erlaubt

- 1. Ableitungsterme, z.B. $A^\mu \phi \partial_\mu \phi$ erlaubt,

werden aber in dieser Vorlesung nicht betrachtet

$$\Rightarrow \mathcal{H}_{WW} = -\mathcal{L}_{WW}$$

1. Beispiel: ϕ^4 -Theorie

$$\mathcal{L} = \underbrace{\frac{1}{2}(\partial_\mu \phi)^2 - \frac{1}{2}m^2 \phi^2}_{\text{freie KG-Lagrange-D.}} - \underbrace{\frac{\lambda}{4!}\phi^4}_{\mathcal{L}_{WW}}$$

free KG-Lagrange-D. \mathcal{L}_{WW}

- λ = "Kopplungskonstante"

Dimension?

$$[\mathcal{L}] = \left[\frac{E}{V} \right] = [E^4] = \text{MeV}^4 = [m^2 \phi^2] = [\lambda \phi^4]$$

$$\Rightarrow [\phi] = \text{MeV}$$

$$\Rightarrow [\lambda] = 1 \quad \text{dimensionslos}$$

- Bewegungsgleichung: $(\partial_\mu \partial^\mu + m^2) \phi = -\frac{g}{s!} \phi^3$

$$\frac{\delta \mathcal{L}_{\text{Wu}}}{\delta \phi}$$

- keine zusätzlichen Ableitungen $\Rightarrow \pi(x) = \dot{\phi}(x)$ (wie erwartet)
- Quantisierung unverändert: $[\phi(\vec{x}), \pi(\vec{y})] = i\delta^3(\vec{x}-\vec{y})$ etc.
(gilt auch bei Ableitungskopplungen, dann jedoch mit dem entsprechend veränderten $\pi(\vec{y})$).
- einfaches Beispiel einer wechselwirkenden QFT,
Anwendung: Higgs - Selbst - WW

2. Beispiel: Quanten-Elektrodynamik

$$\mathcal{L}_{QED} = \underbrace{\bar{\psi} (i \partial^\mu - m) \psi}_{\text{freies Elektron}} - \frac{1}{4} F_{\mu\nu} F^{\mu\nu} - e \underbrace{\bar{\psi} \gamma^\mu \psi}_{\text{freies Photon}} A_\mu$$

- \mathcal{L}_{QED} ist (wie \mathcal{L}_{Dirac}) invariant unter der globalen ($= x$ -unabhängigen) Phasentransformation $\psi(x) \rightarrow e^{i\chi} \psi(x)$

2) erhaltenes Noether-Strom: $j^\mu_{\text{Teilchen}} = \bar{\psi} \gamma^\mu \psi$

(\leftrightarrow erhaltene Zahl Elektronen minus Positronen,
vgl. S. III. 30)

$$\Rightarrow d_{WW} = -e j \text{ Teilchen } A_\mu = -j^\mu \text{ Ladung } A_\mu \quad (\text{vgl. Maxwell-Theorie} \\ 5. \text{ IV. c})$$

\Rightarrow „Koppelungskonstante“ $e = -|e| = \text{Elektron-Ladung}$
(dimensionslos)

- L_{QED} ist invariant unter einer lokalen ($= x$ -abhängigen) Phasentransformation, wenn man gleichzeitig eine Eichtransformation des Photonfeldes durchführt:

$$\bar{\psi}(x) \rightarrow e^{i\chi(x)} \bar{\psi}(x), \quad A_\mu(x) \rightarrow A_\mu(x) - \frac{i}{e} \partial_\mu \chi(x)$$

(\rightarrow Übung)

\rightarrow Die QED ist eine Eichtheorie, die man dadurch motivieren kann, dass man eine globale Symmetrie der freien Dirac-Theorie durch Hinzufügen eines „Eichfeldes“ A_μ zu einer lokalen Symmetrie macht („eicht“).

\hookrightarrow „kovariante Ableitung“ $D_\mu := \partial_\mu + ie A_\mu$

$$\Rightarrow L_{QED} = \bar{\psi} (iD - m) \psi - \frac{1}{4} F_{\mu\nu} F^{\mu\nu}$$

- Bewegungsgleichungen:

$$(iD - m) \psi = 0 \quad \Leftrightarrow \quad (iD - m) \psi = e A^\mu \psi$$

$$\partial_\mu F^{\mu\nu} = e \bar{\psi} \gamma^\nu \psi$$

Allgemein sind zunächst unendlich viele WW-Theorie vorstellbar.

Einschränkung im Standard-Modell:

fundamentale Theorien sollten renormierbar sein.

stark vereinfachte Idee:

- Lösungsblauel. Entwicklung einer Amplitude M in der Kopplungskonstanten λ :

$$M = \sum_{m=0}^{\infty} M^{(m)} \lambda^m = M^{(0)} \sum_{m=0}^{\infty} \tilde{M}^{(m)} \lambda^m, \quad \tilde{M}^{(m)} = \frac{M^{(m)}}{M^{(0)}}$$

dimensionlos

- Die höheren Ordnungen ($m \geq 2$) enthalten häufig divergente Impulsintegrale

→ Regularisierung durch "Cutoff" Λ : $\int dp \rightarrow \int_0^\Lambda dp$

- Berechnung von Observablen $\mathcal{O}(1)$

- am Ende $\lim_{\Lambda \rightarrow \infty} \mathcal{O}(1)$

Das sollte besser endlich bleiben!

- Annahme: $[\lambda] = (\text{MeV})^m$, $m = -|m| < 0$

$$\Rightarrow [\tilde{M}^{(m)}] = \text{MeV}^{-nm} \Rightarrow \tilde{M}^{(m)} \sim \Lambda^{-nm} = \Lambda^{n|m|}$$

⇒ immer schlimmere Divergenzen mit wachsender Ordnung

$$\Rightarrow [\lambda] = (\text{MeV})^m, \quad m \stackrel{!}{\geq} 0$$

d.h. die Kopplung darf keine negative Energiedimension haben.

• Klein-Gordon-Feld: $[\phi] = \text{MeV}$

• Dirac-Feld: $[\psi] = \text{MeV}^{\frac{1}{2}}$ ($\frac{1}{2}(i\partial - m)\psi$)

• Elek. Feld: $[A^\mu] = \text{MeV}$

$$\frac{3}{2} + \frac{1}{2} + \frac{3}{2} = 4d$$

L_{WW} $[A]$ renormierbar?

$\lambda \phi^3$ MeV ja

$\lambda \phi^4$ 1 ja

$\lambda \phi^5$ MeV^{-1} nein

$\lambda \bar{\psi}\psi$ MeV ja ($\hat{=}$ Massenterm, keine WW)

$\lambda \psi^3$ $\text{MeV}^{-\frac{3}{2}}$ nein (und nicht Lorentz-invar.)

$\lambda (\bar{\psi}\psi)^2$ MeV^{-2} nein

$\lambda \bar{\psi} A \psi$ 1 ja ($\rightarrow QED$)

$\lambda A^2 \partial_\mu A^\mu$ 1 ja ($\rightarrow QCD$) ~~ja~~

λA^4 1 ja ($\rightarrow QCD$) ~~ja~~

$\lambda \bar{\psi} \psi \phi$ 1 ja (\rightarrow Yukawa-Theorie)

$A^\mu \phi \partial_\mu \phi$ 1 ja (\rightarrow skalare Elektrodynamik)

$\phi^2 A^2$ 1 ja (\rightarrow ...)

Dies sind alle Möglichkeiten!

→ Die Forderung nach Renormierbarkeit schränkt die Zahl der möglichen Wechselwirkungsterme stark ein.

V.2 Störungstheoretische Entwicklung von Korrelationsfunktionen

Wechselwirkende QFT nicht mehr exakt lösbar.

→ einfache Methode: Störungstheorie bei kleinen Kopplungen

Ziel: Berechnung von Wirkungsquerschnitten und Zerfallsraten.

erster Schritt:

Korrelationsfunktion: $\langle \Omega | T \phi(x) \phi(y) | \Omega \rangle$
in ϕ^* -Theorie

$|\Omega\rangle$ = Grundzustand der wechselwirkenden Theorie

$|\Omega'\rangle$ = " " freien " "

frei Theorie:

$$\langle \Omega | T \phi(x) \phi(y) | \Omega' \rangle = J_F(x-y) = \int \frac{d^4 p}{(2\pi)^4} \frac{i}{p^2 - m^2 + i\epsilon} e^{-ip \cdot (x-y)}$$

ϕ^* -Theorie:

$$H = H_0 + H_{\text{int}} = H_{\text{KG}} + \int d^3 x \frac{\lambda}{4!} \phi^4$$

Auswirkungen von H_{int} :

i) analoge Zeitentwicklung $\phi(x) = e^{ikt} \phi^*(x) e^{-ikt}$

ii) $|\Omega\rangle \neq |\Omega'\rangle$

Ziel: störungstheoret. Entwicklung beider Effekte

i) $\phi(x)$

feste Zeit t_0 : (bisher meistens $t_0 = 0$)

$$\phi(t_0, \vec{x}) = \phi(\vec{x}) = \int \frac{d^3 p}{(2\pi)^3} \frac{1}{\sqrt{2\epsilon_p}} (a_{\vec{p}} e^{i\vec{p}\cdot\vec{x}} + a_{\vec{p}}^+ e^{-i\vec{p}\cdot\vec{x}})$$

(erfüllt wie zuvor die Quantisierungsregeln)

$$\Rightarrow \phi(t, \vec{x}) = e^{iH(t-t_0)} \phi(t_0, \vec{x}) e^{-iH(t-t_0)}$$

Definiere: „Wechselwirkungsbild - Feldoperator“

$$\phi_I(t, \vec{x}) := \phi(t, \vec{x}) \Big|_{\lambda=0} \quad (\text{WW-Bild: Zeientw. der Operatoren mit } H_0 \text{ "zulässt" Ann.)}$$

$$= e^{iH_0(t-t_0)} \phi(t_0, \vec{x}) e^{-iH_0(t-t_0)}$$

$$= \int \frac{d^3 p}{(2\pi)^3} \frac{1}{\sqrt{2\epsilon_p}} (a_{\vec{p}} e^{-i\vec{p}\cdot\vec{x}} + a_{\vec{p}}^+ e^{i\vec{p}\cdot\vec{x}}) \Big|_{x^0=t-t_0}$$

$\Rightarrow \phi$ im Heisenberg-Bild:

$$\boxed{\phi(t, \vec{x}) = e^{iH(t-t_0)} e^{-iH(t-t_0)} \phi_I(t, \vec{x}) e^{iH(t-t_0)} e^{-iH(t-t_0)}} \\ = U(t, t_0) \phi_I(t, \vec{x}) U(t, t_0)$$

$$\text{mit } \boxed{U(t, t_0) := e^{iH(t-t_0)} e^{-iH(t-t_0)}}$$

„Zeientwicklungsoperator“

(unitär)

$$\Rightarrow i \frac{\partial}{\partial t} U(t, t_0) = e^{iH(t-t_0)} (H - H_0) e^{-iH(t-t_0)}$$

$$= e^{iH(t-t_0)} H_{WW} e^{-iH(t-t_0)}$$

$$= e^{iH(t-t_0)} H_{WW} e^{-iH(t-t_0)} \underline{U(t, t_0)}$$

$\equiv H_I(t)$ (WW-Hamiltonop.
im WW-Bild)

$$\Rightarrow \text{DGl: } i \frac{\partial}{\partial t} U(t, t_0) = H_I(t) U(t, t_0)$$

$$\text{mit } H_I = \int d^3x \frac{1}{4!} \phi_I^4$$

Anfangsbedingung: $U(t_0, t_0) = 1$

Lösung:

$$U(t, t_0) = 1 + (-i) \int_{t_0}^t dt_1 H_I(t_1) + (-i)^2 \int_{t_0}^t dt_1 \int_{t_0}^{t_1} dt_2 H_I(t_1) H_I(t_2)$$

$$+ \dots$$

(Beweis: einfach nach t ableiten)

Die Operatoren $H_I(t_i)$ sind reell gekennzeichnet (für $t \geq t_0$)

$$2, \int_{t_0}^t dt_1 \int_{t_0}^{t_1} dt_2 \dots \int_{t_0}^{t_m} dt_m H_I(t_1) H_I(t_2) \dots H_I(t_m)$$

$$= \frac{1}{m!} \int_{t_0}^t dt_1 \dots \int_{t_0}^{t_m} dt_m T \{ H_I(t_1) \dots H_I(t_m) \} = T \frac{1}{m!} \left(\int_{t_0}^t dt' H_I(t') \right)^m$$

$$(2.3) \frac{1}{2} \int_{t_0}^t dt_1 \int_{t_0}^{t_1} dt_2 T \{ H_I(t_1) H_I(t_2) \}$$

$$= \frac{1}{2} \int_{t_0}^t dt_1 \int_{t_0}^{t_1} dt_2 \{ H_I(t_1) H_I(t_2) \Theta(t_1 - t_2)$$

$$+ H_I(t_2) H_I(t_1) \Theta(t_2 - t_1) \}$$

$$= \int_{t_0}^t dt_1 \int_{t_0}^{t_1} dt_2 H_I(t_1) H_I(t_2) \Theta(t_1 - t_2)$$

$$= \int_{t_0}^t dt_1 \int_{t_0}^{t_1} dt_2 H_I(t_1) H_I(t_2) \quad)$$

$$\Rightarrow U(t, t_0) = T \left\{ \exp \left(-i \int_{t_0}^t dt' H_I(t') \right) \right\} \quad (t \geq t_0)$$

Störungstheorie n-ter Ordnung:

Nur nur Terme bis Ordnung $H_I^n \sim \lambda^n$ mit.

Verallgemeinerung auf beliebige Anfangszeiten:

$$U(t, t') = T \left\{ \exp \left(-i \int_{t'}^t dt'' H_I(t'') \right) \right\}, \quad t \geq t'$$

$$2, \quad U(t, t') = e^{iH_0(t-t_0)} e^{-iH(t-t')} e^{-iH_0(t'-t_0)}$$

$$U(t_1, t_2) U(t_2, t_3) = U(t_1, t_3), \quad t_1 \geq t_2 \geq t_3$$

$$U(t_1, t_3) U^\dagger(t_2, t_3) = U(t_1, t_2), \quad \text{u.}$$

(\rightarrow Übung)

ii) $1\Omega >$

Annahme: WW kleine Störung $\Rightarrow \langle 0 | 1\Omega > \neq 0$

$$\Rightarrow e^{-iH\tau} |0\rangle = \sum_n e^{-iE_n\tau} |n\rangle \langle n|0\rangle$$

$$= e^{-iE_0\tau} |1\Omega\rangle \langle \Omega|0\rangle + \sum_{n \neq 0} e^{-iE_n\tau} |n\rangle \langle n|0\rangle$$

$$\Rightarrow (e^{-iE_0\tau} \langle \Omega|0\rangle)^{-1} e^{-iH\tau} |0\rangle$$

$$= |1\Omega\rangle + \sum_{n \neq 0} e^{-i(E_n - E_0)\tau} \frac{\langle n|0\rangle}{\langle \Omega|0\rangle} |n\rangle$$

Energie-Eigenwerte:

$$H|n\rangle = E_n |n\rangle$$

$$H|1\Omega\rangle = E_0 |1\Omega\rangle$$

$$H_0|0\rangle = 0$$

$|1\rangle$ Grundzustand $\Rightarrow E_1 > E_0 \quad \forall n \neq 0$

$$\Rightarrow \lim_{\tau \rightarrow (1-i\varepsilon)\infty} e^{-i(E_1 - E_0)\tau} = 0 \quad (\lim_{\tau \rightarrow (1-i\varepsilon)\infty} f(\tau) \text{ für } \varepsilon \geq 0 \text{ für } T \rightarrow \infty)$$

$$\Rightarrow |1\rangle = \lim_{\tau \rightarrow (1-i\varepsilon)\infty} (e^{-iE_0\tau} \langle \varphi | 1 \rangle)^{-1} e^{-iH\tau} |1\rangle$$

Verschiebung von τ um eine Konstante t_0 :

$$|1\rangle = \lim_{\tau \rightarrow (1-i\varepsilon)\infty} (e^{-iE_0(\tau+t_0)} \langle \varphi | 1 \rangle)^{-1} e^{-iH(\tau+t_0)} |1\rangle$$

Definiere Energie des ungestörten Grundzustands $H_0 |1\rangle = 0$

$$\Rightarrow e^{-iH_0 t} |1\rangle = |1\rangle \quad \forall t$$

$$\Rightarrow |1\rangle = \lim_{\tau \rightarrow (1-i\varepsilon)\infty} (\dots)^{-1} e^{-iH(t_0+\tau)} e^{-iH_0(-\tau-t_0)} |1\rangle$$

$U(t_0, -\tau)$

analog:

$$\langle \varphi | = \lim_{\tau \rightarrow (1-i\varepsilon)\infty} \langle \varphi | U(\tau, t_0) (e^{-iE_0(\tau-t_0)} \langle \varphi | 1 \rangle)^{-1}$$

$$\Rightarrow 1 = \langle \varphi | 1 \rangle$$

$$= \lim_{\tau \rightarrow (1-i\varepsilon)\infty} (e^{-2iE_0\tau} |\langle \varphi | 1 \rangle|^2)^{-1} \underbrace{\langle \varphi | U(\tau, t_0) U(t_0, -\tau) |1\rangle}_{U(\tau, -\tau)}$$

- Sei nun $x^0 > y^0 > t_0$

$$\Rightarrow \langle \Omega | \phi(x) \phi(y) | \Omega \rangle$$

$$= \lim_{\epsilon \rightarrow (1-i\epsilon)\infty} (e^{-2iE_0\epsilon} |\langle \Omega | 0 \rangle|^2)^{-1}$$

$$* \langle 0 | U(\epsilon, t_0) U^\dagger(x^0, t_0) \phi_I(x) U(x^0, t_0) \rangle$$

$$* U^\dagger(y^0, t_0) \phi_I(y) U(y^0, t_0) U(t_0, -\epsilon) | 0 \rangle$$

$$= \lim_{\epsilon \rightarrow (1-i\epsilon)\infty} \frac{\langle 0 | U(\epsilon, x^0) \phi_I(x) U(x^0, y^0) \phi_I(y) U(y^0, -\epsilon) | 0 \rangle}{\langle 0 | U(\epsilon, -\epsilon) | 0 \rangle}$$

- t_0 tritt nicht mehr auf

- alle Größen zeitgeordnet

$$\bullet y^0 > x^0 \Rightarrow \langle \Omega | T \{ \phi(x), \phi(y) \} | \Omega \rangle = \langle \Omega | \phi(y) \phi(x) | \Omega \rangle$$

$$= \dots \text{ (analog)}$$

2. Gesamtergebnis:

$$\langle \Omega | T \{ \phi(x), \phi(y) \} | \Omega \rangle$$

$$= \lim_{\epsilon \rightarrow (1-i\epsilon)\infty} \frac{\langle 0 | T \{ \phi_I(x), \phi_I(y), \exp(-i \int_{-\epsilon}^{\epsilon} dt H_I(t)) \} | 0 \rangle}{\langle 0 | T \{ \exp(-i \int_{-\epsilon}^{\epsilon} dt H_I(t)) \} | 0 \rangle}$$

- gilt analog für höhere Korrelationfunktionen mit beliebig vielen Feldern

- exakte Formel, Ausgangspunkt für Lösungsrechnung

K.3 Das Wickische Theorem

Ziel: möglichst einfache Berechnung von Ausdrücken der Form $\langle 0 | T \{ \phi_I(x_1) \dots \phi_I(x_n) \} | 0 \rangle$

Notation: ab jetzt alle Felder im VW-Bild
 \rightarrow lasse Index I weg

$$\phi(x) = \phi^{(+)}(x) + \phi^{(-)}(x) = \int \frac{d^3 p}{(2\pi)^3} \frac{1}{\sqrt{2\epsilon_p}} a_p e^{-ip \cdot x} + \int \frac{d^3 p}{(2\pi)^3} \frac{1}{\sqrt{2\epsilon_p}} a_p^\dagger e^{ip \cdot x}$$

$$\Rightarrow \phi^{(+)}(x) |0\rangle = 0 = \langle 0 | \phi^{(+)}(x)$$

$$\begin{aligned} \phi(x) \phi(y) &= \phi^{(+)}(x) \phi^{(+)}(y) + \phi^{(+)}(x) \phi^{(-)}(y) + \phi^{(-)}(x) \phi^{(+)}(y) + \phi^{(-)}(x) \phi^{(-)}(y) \\ &= \phi^{(+)}(x) \phi^{(+)}(y) + \phi^{(-)}(y) \phi^{(+)}(x) + \phi^{(-)}(x) \phi^{(+)}(y) + \phi^{(+)}(x) \phi^{(-)}(y) \\ &\quad + [\phi^{(+)}(x), \phi^{(-)}(y)] \\ &= N \{ \phi(x) \phi(y) \} + [\phi^{(+)}(x), \phi^{(-)}(y)] \end{aligned}$$

„normal-geordnetes Produkt“:

All freiege. stehen links von den Verwicklern.

$$\text{z.B. } N(a_p a_k^\dagger a_q) = : a_p a_k^\dagger a_q: = a_k^\dagger a_p a_q$$

$$\Rightarrow \langle 0 | N(\dots) | 0 \rangle = 0, \text{ sofern } (\dots) \text{ keine Termen ohne Operatoren enthält}$$

analog:

$$\begin{aligned} \phi(y) \phi(x) &= N \{ \phi(y) \phi(x) \} + [\phi^{(+)}(y), \phi^{(-)}(x)] \\ &= N \{ \phi(x) \phi(y) \} + [\phi^{(+)}(x), \phi^{(-)}(y)] \end{aligned}$$

$$\Rightarrow \boxed{T\{\phi(x)\phi(y)\} = N\{\phi(x)\phi(y)\} + \overline{\phi(x)\phi(y)}}$$

mit

$$\overline{\phi(x)\phi(y)} := \begin{cases} [\overset{(+)}{\phi}(x), \overset{(-)}{\phi}(y)] & \text{für } x^0 > y^0 \\ [\overset{(+)}{\phi}(y), \overset{(-)}{\phi}(x)] & " \quad y^0 > x^0 \end{cases} \quad (\text{"Kontraktion"})$$

so gilt:

$$\overline{\phi(x)\phi(y)} = D_F(x-y) \quad (\rightarrow \text{Übung})$$

$$\left(\Rightarrow \langle 0 | T\{\phi(x), \phi(y)\} | 0 \rangle = \underbrace{\langle 0 | N\{\phi(x)\phi(y)\} | 0 \rangle}_{= 0} + D_F(x-y) \langle 0 | 0 \rangle \right. \\ \left. = D_F(x-y) \quad \checkmark \quad) \right)$$

Verallgemeinerung: „Wick'sches Theorem“

$$T\{\phi(x_1) \dots \phi(x_m)\}$$

$$= N\{\phi(x_1) \dots \phi(x_m) + \text{alle möglichen Kontraktionen}\}$$

Beispiel: vier unterschiedliche Punkte x_1, \dots, x_4 ; $\phi_i = \phi(x_i)$

$$\Rightarrow T\{\phi_1 \phi_2 \phi_3 \phi_4\} = N\{\phi_1 \phi_2 \phi_3 \phi_4$$

$$\begin{aligned} &+ \overline{\phi_1 \phi_2 \phi_3 \phi_4} + \overline{\phi_1 \phi_2 \phi_4 \phi_3} + \overline{\phi_1 \phi_3 \phi_2 \phi_4} \\ &+ \overline{\phi_1 \phi_2 \phi_3 \phi_4} + \overline{\phi_1 \phi_2 \phi_4 \phi_3} + \overline{\phi_1 \phi_3 \phi_2 \phi_4} \\ &+ \overline{\phi_1 \phi_2 \phi_3 \phi_4} + \overline{\phi_1 \phi_2 \phi_4 \phi_3} + \overline{\phi_1 \phi_3 \phi_2 \phi_4} \} \end{aligned}$$

$$\text{wobei z.B. } N\{\overline{\phi_1 \phi_2 \phi_3 \phi_4}\} = D_F(x_1-x_3) N\{\phi_2 \phi_4\}$$

Beweis des Wick'schen Theorems:

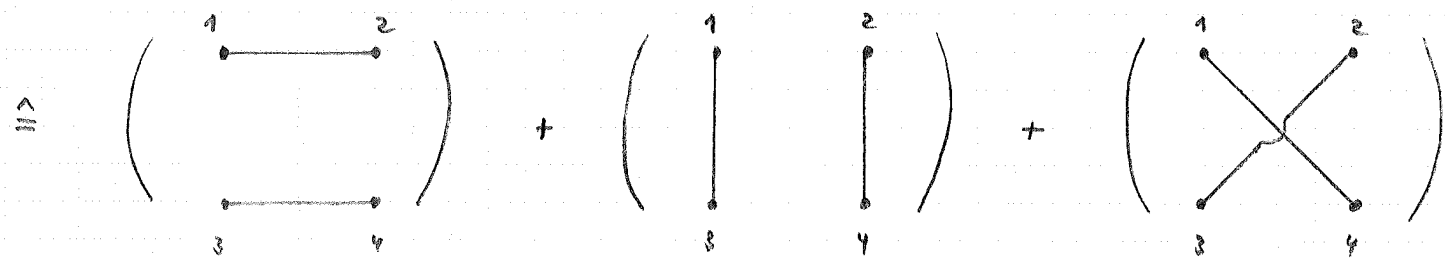
über vollständige Induktion ($n=2 \vee$ zeige: $n \Rightarrow n+1$)

V. 4 Feynman-Diagramme

Aus dem obigen Beispiel folgt:

$$\langle 0 | T \{ \phi(x_1) \phi(x_2) \phi(x_3) \phi(x_4) \} | 0 \rangle$$

$$= D_F(x_1-x_2) D_F(x_3-x_4) + D_F(x_1-x_3) D_F(x_2-x_4) + D_F(x_1-x_4) D_F(x_2-x_3)$$



interessanteres Beispiel:

$$\langle 0 | T \{ \phi(x) \phi(y) \exp(-i \int dt H_I(t)) \} | 0 \rangle$$

$$= \langle 0 | T \{ \phi(x) \phi(y) + \phi(x) \phi(y) [-i \int dt H_I(t)] + \dots \} | 0 \rangle$$

↑

$D_F(x-y)$

↑

1. Ordnung Störungstheorie

(= freier Propagator)

ϕ^4 -Theorie:

$$\langle 0 | T \{ \phi(x) \phi(y) [-i \int dt H_I(t)] \} | 0 \rangle$$

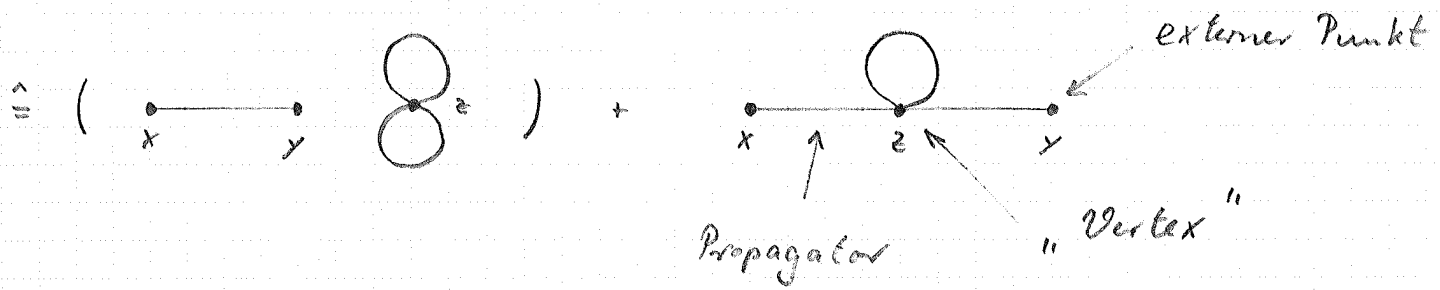
$$= \langle 0 | T \{ \phi(x) \phi(y) (-i) \int d^4z \frac{1}{4!} \phi^4(z) \} | 0 \rangle$$

$$\begin{aligned}
 &= \frac{-i\lambda}{4!} \int d^4 z \langle 0 | T \{ \phi(x_1) \phi(y_1) \phi(z_1) \phi(z_2) \phi(z_3) \phi(z_4) \} | 0 \rangle \\
 &= \overbrace{\phi(x_1) \phi(y_1)}^1 \overbrace{\phi(z_1) \phi(z_2)}^2 \overbrace{\phi(z_3) \phi(z_4)}^3 + 3 \\
 &\quad + \overbrace{\phi(x_1) \phi(y_1)}^1 \overbrace{\phi(z_1) \phi(z_3)}^2 \overbrace{\phi(z_2) \phi(z_4)}^3 + 4 \cdot 3
 \end{aligned}$$

+ nicht vollständig kontrahierte Terme

$$= 3 \left(\frac{-i\lambda}{4!} \right) D_F(x-y) \int d^4 z D_F(z-z_1) D_F(z-z_2)$$

$$+ 12 \left(\frac{-i\lambda}{4!} \right) \int d^4 z D_F(x-z_1) D_F(y-z_2) D_F(z-z_3)$$



\Rightarrow "Kochrezept":

$$\langle 0 | T \{ \phi(x_1) \phi(y_1) \exp[-i \int dt H_I(t)] \} | 0 \rangle$$

= Summe aller Diagramme mit externen Punkten x und y

Feynman-Regeln zur Berechnung aller Diagramme
(in ϕ^4 -Theorie)

1. Für jeden Propagator $\overrightarrow{x_1 x_2} = D_F(x_1 - x_2)$

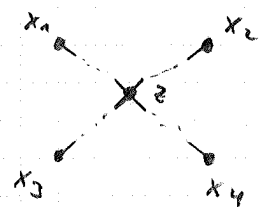
2. " " " Vertex $\times^2 = (-i\lambda) \int d^4 z$

3. " " " externen Punkt $\overrightarrow{\bullet} = 1$

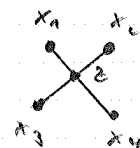
4. Teile durch den Symmetriefaktor $S = 7! \cdot 5!$

Symmetriefaktor:

- Die Vertices sind eigentlich jeweils mit einem Faktor $\left(\frac{1}{4!}\right)$ füre verbunden. Andereorts gibt es z.B. $4!$ Möglichkeiten, einen Vertex mit vier verschiedenen Punkten zu verbinden:



→ Lasse beide Faktoren $4!$ weg und werde als ein Diagramm.

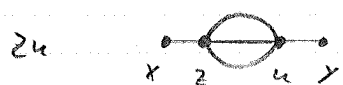


Es gibt jedoch Ausnahmen.

Bsp. 1: Verbinde X mit zwei Punkten x_1, x_2
 $\rightarrow 4 \cdot 3$ Möglichkeiten
 \Rightarrow Symmetriefaktor $S = \frac{4!}{3 \cdot 4} = 2$

allgemein: jeweils ein Faktor $S_i = 2$ für jede Linie, die am gleichen Punkt beginnt und endet

Bsp. 2: Verbinde zwei Vertices mit zwei Punkten



$$\rightarrow 4 \cdot 4 \cdot 3 \cdot 2 \text{ Möglichkeiten} \Rightarrow S = \frac{(4!)^2}{4 \cdot 4 \cdot 3 \cdot 2} = 6$$

allgemein: jeweils ein Faktor $S_i = N_i!$, wenn N_i Linien die gleichen Punkte verbinden

• n-te Ordnung Störungstheorie

- Faktor $\frac{1}{n!}$ von der Exponentialfkt.

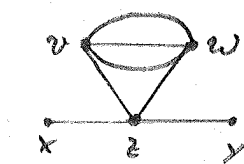
- $n!$ Anordnungen der Vertices, z.B.



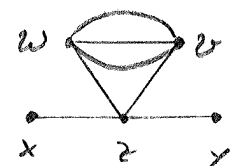
→ Lasse beide Faktoren weg

und werde als ein Diagramm

aber:



ist sowieso äquivalent zu



⇒ Symmetriefaktor 2

allgemein: jeweils ein Faktor $S_i = N!$ für N
äquivalente Vertices

Impulsraum:

$$D_F(x-y) = \int \frac{d^4 p}{(2\pi)^4} i \frac{-}{p^2 - m^2 + i\epsilon} e^{-ip \cdot (x-y)}$$

$$\sim \underset{\substack{p_1 \\ p_2}}{\cancel{x}} \underset{\substack{p_3 \\ p_4}}{\cancel{y}} \sim \int d^4 p_1 d^4 p_2 d^4 p_3 d^4 p_4 e^{-ip_1 \cdot x} e^{-ip_2 \cdot x} e^{-ip_3 \cdot y} e^{-ip_4 \cdot y} = (2\pi)^4 \delta^4(p_1 + p_2 + p_3 + p_4)$$

Vierimpulschaltung!

Feynman-Regeln im Impulsraum:

1. Propagator: $\frac{i}{p^2 - m^2 + i\epsilon}$

2. Vertex: $= i J$

3. externe Punkte: $x \leftarrow p = e^{-ip \cdot x}$, $\rightarrow p y = e^{ip \cdot y}$

4. Vierimpulschaltung an jedem Vertex

5. Integration über alle unbestimmten Impulse $\int \frac{d^4 p_i}{(2\pi)^4}$

6. Teile durch den Symmetriefaktor

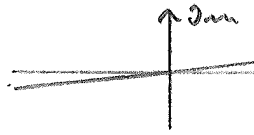
Was passiert mit oben $\lim_{\epsilon \rightarrow (1-i\epsilon) \infty}$?

z. B.  $= \frac{1}{2}(-i\gamma) \lim_{\epsilon \rightarrow (1-i\epsilon) \infty} \int \limits_{-\infty}^{\infty} d\tau^0 \int \limits_{-\infty}^{\infty} d\tau^3 D_F(x-\tau) D_F(y-\tau) D_F(0)$

$$\sim \lim_{\epsilon \rightarrow (1-i\epsilon) \infty} \int \limits_{-\infty}^{\infty} d\tau^0 \int \limits_{-\infty}^{\infty} d\tau^3 \int \frac{d^4 p_1}{(2\pi)^4} \int \frac{d^4 p_2}{(2\pi)^4} e^{i(p_1 + p_2) \cdot \tau} \frac{i}{p_1^2 - m^2 + i\eta} \frac{i}{p_2^2 - m^2 + i\eta}$$

2) $\lim_{\epsilon \rightarrow (1-i\epsilon) \infty} e^{\pm i p_i^0 \tau} = \lim_{T \rightarrow \infty} e^{\pm i p_i^0 T} e^{\pm p_i^0 \epsilon T}$ divergiert an der oberen oder unteren Grenze

↳ $(1-i\epsilon)p_i^0$ sollte besser reell sein!

2) Integration  \Rightarrow $\text{Re } p^0$ mit $p^0 \sim (1+i\epsilon)$

- kompatibel mit der Feynman-Rulebed.
- Bei der Integration entlang der „gedrehten“ p^0 -Richtung könnte man dann $i\eta$ im Propagator auch weglassen. In der Regel kann man dagegen auch das $i\eta$ im Propagator beibehalten und über reelle p^0 und τ^0 integrieren.

Unverbindliche Diagrammanteile:

z. B.  $= D_F(x-y) * \circlearrowleft$

$$\circlearrowleft = \frac{1}{S} \int d\tau^0 \int d\tau^3 D_F(0)(-i\gamma) D_F(0) = \frac{-i\gamma}{S} D_F(0) \underbrace{\int d\tau^0}_{V_4 \rightarrow \infty} \int d\tau^3$$

Wir brauchen (\rightarrow IV-11)

$$\langle \mathcal{O} | T\{\phi_1 \phi_2\} | \mathcal{O} \rangle = \lim_{T \rightarrow \dots} \frac{\langle 0 | T\{\phi_1 \phi_2 e^{-i \text{Satz } H_I}\} | 0 \rangle}{\langle 0 | T e^{-i \text{Satz } H_I} | 0 \rangle}$$

Nomos:

$$1 + \underbrace{8}_{\mathcal{O}(2)} + \underbrace{8}_{\mathcal{O}(2)} + (88) + \emptyset + \dots$$

"Vakuumdiagramme",
"Vakuumblasen"

Zähler:



$$+ \circlearrowleft + (\longrightarrow 8)$$

$$+ \circlearrowleft + \circlearrowleft + \circlearrowleft + (\circlearrowleft \cdot 8) + (\longrightarrow 8) + (\longrightarrow 88) \\ + \dots + (\longrightarrow \emptyset)$$

$$= \longrightarrow \times [1 + 8 + 8 + (88) + \emptyset + \dots]$$

$$+ \circlearrowleft \times [1 + 8 + \dots]$$

+ ...

detaillierte Rechnung:

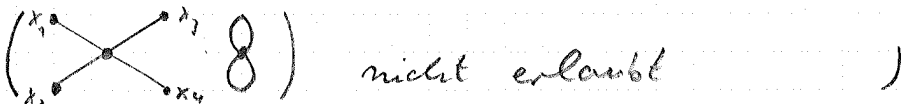
Die Vakuumdiagramme kürzen sich exakt heraus.

\Rightarrow Nur die verbundenen Diagramme tragen bei.

allgemein:

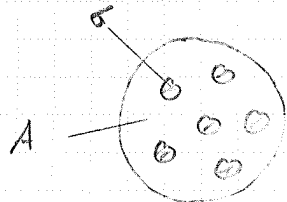
$$\langle \Omega | T\{\phi(x_1) \dots \phi(x_n)\} | \Omega \rangle = \sum \left(\begin{array}{l} \text{verbundene Feynmandiagramme} \\ \text{mit externen Punkten } x_1, \dots, x_n \end{array} \right)$$

(„verbunden“ = keine Faktoren mit Vakuumbläsen,
nicht notwendig untereinander verbunden)



V. 5 Wirkungsquerschnitte

klassisch - anschauliches Bild des Wirkungsquerschnitts:



N_A Target-Teilchen jeweils mit Querschnittsfläche σ werden von N_B punktförmigen Projektileteilchen beschossen, die gleichmäßig über eine Fläche A verteilt sind.

$$\Rightarrow \text{Zahl der Treffer: } N = \frac{N_A \sigma}{A} \cdot N_B$$

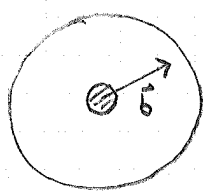
Verallgemeinerte Definition:

$$\text{Wirkungsquerschnitt } \sigma = \frac{N_A}{N_A N_B} = \frac{N}{N_A n_B}$$

N : Zahl aller „interessanten Ereignisse“

$$n_B = \frac{N_B}{A} = \text{Flächendichte der Projektile-Teilchen}$$

nur ein Target - Teilchen im Zentrum des Stoßkls.



$$N_A = 1$$

$P(\tilde{b})$ = Ereigniswahrscheinlichkeit für ein Projektileteilchen mit Stoßparameter \tilde{b}

$$\Rightarrow N = \int d\tilde{b} n_0 P(\tilde{b}) = n_0 \int d\tilde{b} P(\tilde{b}) \quad (\text{für } n_0 = \text{const.})$$

$$\Rightarrow \sigma = \int d\tilde{b} P(\tilde{b}) \quad (N_A = 1, n_0 = \text{const.})$$

QFT: Beschreibe ein- und auslauferne Teilchen durch Wellenpakete:

$$|\phi_i\rangle = \int \frac{d^3 k}{(2\pi)^3} \frac{1}{\sqrt{2\varepsilon_k}} \phi_i(k) |k\rangle, \quad |k\rangle = \text{Ein - Teilchen - Impuls - Zustand der wellenfunktionellen Theorie}$$

Fouriertransf.
der Ortswellenfkt. (nicht-WW Theorie)

Normierung:

$$\langle \phi_i | \phi_i \rangle = \int \frac{d^3 k}{(2\pi)^3} |\phi_i(k)|^2 = 1$$

Betrachte Prozess $A + B \rightarrow 1 + 2 + \dots + m$

Annahme:

Die ein- und auslauferne Wellenpakete sind räumlich lokalisiert, so dass sie zur Zeit $-\infty$ bzw. $+\infty$ als unabhängige Ein - Teilchen - Zustände konstruiert werden können.

2) Übergangswahrscheinlichkeit:

$$P = | \text{out} \langle \phi_1 \dots \phi_m | \phi_A \phi_B \rangle_{\text{in}} |^2$$

↑
Endzustand,
zur Zeit $t \rightarrow \infty$ gemessen

↓
Anfangszustand,
zur Zeit $t \rightarrow -\infty$ präpariert

$$| \phi_A \phi_B \rangle_{\text{in}} = \int \frac{d^3 k_A}{(2\pi)^3} \int \frac{d^3 k_B}{(2\pi)^3} \frac{1}{\sqrt{2E_A 2E_B}} \phi_A(\vec{k}_A) \phi_B(\vec{k}_B) e^{-i\vec{b} \cdot \vec{k}_B} | \vec{k}_A \vec{k}_B \rangle_{\text{in}}$$

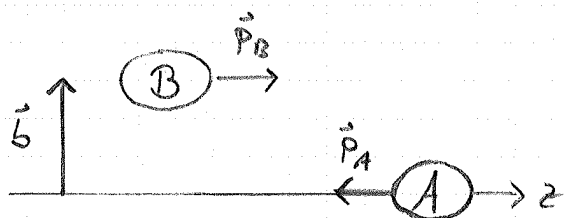
Dabei seien $\phi_A(\vec{k}_A)$ und $\phi_B(\vec{k}_B)$ so gewählt, dass

die Erwartungswerte der einlaufenden Impulse

$$\hat{p}_A = \langle \vec{k}_A \rangle \text{ und } \hat{p}_B = \langle \vec{k}_B \rangle \text{ parallel zur}$$

2. Richtung sind und die Erwartungswerte der
Ortsraumwellenfunktion auf der z-Achse liegen.

Der zusätzliche Faktor $e^{-i\vec{b} \cdot \vec{k}_B}$ verschiebt dann
das Projektionswellenpaket in transversale Richtung



$$\text{out} \langle \phi_1 \dots \phi_m | = \frac{1}{\sqrt{2E_1 \dots 2E_n}} \text{out} \langle \hat{p}_1 \dots \hat{p}_m | \quad (\text{z. Schafe}) \quad (\text{Impulsdichten})$$

3) diff. Übergangswahrscheinlichkeit:

$$dP = \prod_f \frac{d^3 p_f}{(2\pi)^3} \frac{1}{2E_f} | \text{out} \langle \hat{p}_1 \dots \hat{p}_m | \phi_A \phi_B \rangle_{\text{in}} |^2$$

2) diff. WQ:

$$d\sigma = \int d^3b \; dP$$

$$= \int d^3b \left(\prod_f \frac{d^3p_f}{(2\pi)^3 2E_f} \right) \left(\prod_{i=A,B} \int \frac{d^3k_i}{(2\pi)^3} \frac{\phi(k_i)}{\sqrt{2E_i}} \int \frac{d^3k'_i}{(2\pi)^3} \frac{\phi^*(k'_i)}{\sqrt{2E'_i}} \right)$$

$$\times e^{i\vec{b} \cdot (\vec{k}_A' - \vec{k}_B')} \langle \vec{p}_1 \dots \vec{p}_n | \vec{k}_A \vec{k}_B \rangle_{in} \langle \vec{p}_1 \dots \vec{p}_n | \vec{k}'_A \vec{k}'_B \rangle_{out}$$

zentrales Objekt:

$$\langle \vec{p}_1 \dots \vec{p}_n | \vec{k}_A \vec{k}_B \rangle_{in} \equiv \langle \vec{p}_1 \dots \vec{p}_n | S | \vec{k}_A \vec{k}_B \rangle$$

\uparrow Zust. mit def. ... $t \rightarrow -\infty$
Impulsen aus
Zeit $t \rightarrow -\infty$

\uparrow Zustände mit def.
Impulsen zu einer
beliebigen gemeinsamen
Referenz-Zeit

S-Matrix: unitärer Operator mit $S = \mathbb{1}$, falls $H_{WW} = 0$

2) $S = \mathbb{1} + iT$, T : „T-Matrix“

globale Vierimpulserhaltung:

$$\langle \vec{p}_1 \dots \vec{p}_n | iT | \vec{k}_A \vec{k}_B \rangle = (2\pi)^4 \delta^4(\vec{k}_A + \vec{k}_B - \sum_f \vec{p}_f) \underbrace{iM}_{f}(\vec{k}_A, \vec{k}_B \rightarrow \vec{p}_1, \dots, \vec{p}_n)$$

Kinematik

Dynamik

- M : „invarianter Matrizelement“

- Lorentz-invariant

- kann Störungstheoretisch mit Hilfe von

- Feynman-Diagrammen berechnet werden (s.u.)

- alle externen Vierimpulse „ruhig“: $p_i^0 = \sqrt{\vec{p}_i^2 + m^2}$

nicht-triviale Prozesse (keine Vorwärtsstreuung):

$$\Rightarrow \text{out} \langle \vec{p}_1 \dots \vec{p}_n | \vec{k}_A \vec{k}_B \rangle_{in} (\text{out} \langle \vec{p}_1 \dots \vec{p}_n | \vec{k}'_A \vec{k}'_B \rangle_{in})^*$$

$$= (2\pi)^4 \delta^4(k_A + k_B - \sum_f p_f) (2\pi)^4 \delta^4(k'_A + k'_B - \sum_f p_f) M(\{k_i\} \rightarrow \{p_f\}) M^*(\{k'_i\} \rightarrow \{p_f\})$$

$\underbrace{\phantom{M(\{k_i\} \rightarrow \{p_f\})}}_{= k_A + k_B}$

aufbrechen:

$$\int d^3 k e^{i \vec{b} \cdot (\vec{k}'_B - \vec{k}_B)} = (2\pi)^2 \delta^2(\vec{k}'_B - \vec{k}_B) = (2\pi)^2 \delta(k'_{B_x} - k_{B_x}) \delta(k'_{B_y} - k_{B_y})$$

Ausführung aller k'_i -Integrationen mit Hilfe der δ -Fktn.
(\rightarrow Übung)

$$\begin{aligned} \text{d}\sigma &= \left(\prod_f \frac{d^3 p_f}{(2\pi)^3 2\epsilon_f} \right) \int \frac{d^3 k_A}{(2\pi)^3} \int \frac{d^3 k_B}{(2\pi)^3} \frac{|\phi_A(\vec{k}_A)|^2 |\phi_B(\vec{k}_B)|^2}{2\epsilon_A 2\epsilon_B |v_A - v_B|} \\ &\quad * |M(k_A, k_B \rightarrow \{p_f\})|^2 (2\pi)^4 \delta^4(k_A + k_B - \sum_f p_f) \end{aligned}$$

mit

$$v_i := \frac{k_i \epsilon}{\epsilon_i}$$

Wellenpakete im Impulsraum schaft lokalisiert:

$$|\phi_i(\vec{k}_i)|^2 \approx (2\pi)^3 \delta^3(\vec{k}_i - \vec{p}_i)$$

$$\Rightarrow d\sigma = \frac{1}{2\epsilon_A 2\epsilon_B |v_A - v_B|} \underbrace{\left(\prod_f \frac{d^3 p_f}{(2\pi)^3 2\epsilon_f} \right) (2\pi)^4 \delta^4(p_A + p_B - \sum_f p_f)}_{\text{Lorentz-invariantes Phasoraum-Element}} * |M(p_A, p_B \rightarrow \{p_f\})|^2$$

transformiert sich
wie eine Fläche
(\leftrightarrow Wirkungsquerschnitt)

Lorentz-invariantes „Physik“
Phasoraum-Element

$|v_A - v_B| =$ Relativgeschwindigkeit der einlaufenden Teilchen
(kollinear: $v_A \parallel v_B$)

Spezialfall: $A + B \rightarrow 1 + 2$ im Schwerpunktssystem

$$p_A = \begin{pmatrix} E_A \\ \vec{p}_A \end{pmatrix}, \quad p_B = \begin{pmatrix} E_B \\ -\vec{p}_A \end{pmatrix} \Rightarrow p_A + p_B = \begin{pmatrix} E_{cm} \\ \vec{0} \end{pmatrix}$$

$$\text{mit } E_A = \sqrt{\vec{p}_A^2 + m_A^2}, \quad E_B = \sqrt{\vec{p}_A^2 + m_B^2}, \quad E_{cm} = E_A + E_B$$

$$\Rightarrow \int \frac{d^3 p_A}{(2\pi)^3} \frac{1}{2E_A} \int \frac{d^3 p_B}{(2\pi)^3} \frac{1}{2E_B} (2\pi)^4 \delta^4 (p_A + p_B - p_1 - p_2)$$

$$= \int \frac{d^3 p_A}{(2\pi)^3} \frac{1}{4E_A E_B} 2\pi \delta(E_{cm} - E_1 - E_2)$$

$$\text{mit } E_1 = \sqrt{\vec{p}_1^2 + m_1^2}$$

$$E_2 = \sqrt{\vec{p}_2^2 + m_2^2}$$

$$= \frac{1}{16\pi^2} \int d\Omega_{p_1} d\vec{p}_1 |d\vec{p}_1| \delta(E_{cm} - E_1 - E_2)$$

→ legt $|d\vec{p}_1|$ fest

$$= \frac{1}{16\pi^2} \int d\Omega_{p_2} \frac{|d\vec{p}_2|^2}{E_1 E_2} \frac{1}{\frac{|d\vec{p}_1|}{E_1} + \frac{|d\vec{p}_1|}{E_2}}$$

$$= \frac{1}{16\pi^2} \frac{|d\vec{p}_1|}{E_{cm}} \int d\Omega_{p_2}$$

$$\Rightarrow \boxed{\left(\frac{d\sigma}{d\Omega} \right)_{cm} = \frac{1}{2E_A 2E_B |\vec{v}_A - \vec{v}_B|} \frac{|d\vec{p}_1|}{16\pi^2 E_{cm}} |M(p_A, p_B \rightarrow p_1, p_2)|^2}$$

weiterer Spezialfall: gleiche Massen für alle Teilchen

$$\Rightarrow E_A = E_B, \quad E_1 = E_2 \Rightarrow E_A = E_B = E_1 = E_2 = \frac{1}{2} E_{cm}$$

$$\Rightarrow |d\vec{p}_1| = |d\vec{p}_2| = |d\vec{p}_1| = |d\vec{p}_2|$$

$$\Rightarrow |\vec{v}_A - \vec{v}_B| = \left| \frac{\vec{p}_A}{E_A} - \frac{\vec{p}_B}{E_B} \right| = \frac{2|d\vec{p}_1|}{E_1} = 4 \frac{|d\vec{p}_1|}{E_{cm}}$$

$$\Rightarrow \left(\frac{d\sigma}{d\omega} \right)_{\text{CMS}} = \frac{|M|^2}{64\pi^2 E_{\text{cm}}^2}$$

$m_1 = m_2 = m_3 = m_{\text{cm}}$

IV. 6 Berechnung von S-Matrixelementen

$|\tilde{h}_A \tilde{h}_B\rangle_{\text{in}}$: Heisenberg-Zustand, der zur Zeit $t \rightarrow -\infty$ zwei separate Teilchen mit Impulsen \tilde{h}_A und \tilde{h}_B besitzt.

z.B. gesamtkinimpuls: $\lim_{t \rightarrow \infty} \hat{P}(-t) |\tilde{h}_A \tilde{h}_B\rangle_{\text{in}} = (\tilde{h}_A + \tilde{h}_B) |\tilde{h}_A \tilde{h}_B\rangle_{\text{in}}$

analoge Zustände zur Referenzzeit t_0 :

$$\hat{P}(t_0) |\tilde{h}_A \tilde{h}_B\rangle = (\tilde{h}_A + \tilde{h}_B) |\tilde{h}_A \tilde{h}_B\rangle$$

$$\hat{P}(t_0) = e^{iH(t_0-t)} \hat{P}(t) e^{-iH(t_0-t)}$$

$$\Rightarrow \hat{P}(t) e^{-iH(t_0-t)} |\tilde{h}_A \tilde{h}_B\rangle = (\tilde{h}_A + \tilde{h}_B) e^{-iH(t_0-t)} |\tilde{h}_A \tilde{h}_B\rangle$$

$$\xrightarrow[t \rightarrow -\infty]{t \rightarrow \infty} \hat{P}(-t) e^{-iH(t_0+t)} |\tilde{h}_A \tilde{h}_B\rangle = (\tilde{h}_A + \tilde{h}_B) \lim_{t \rightarrow \infty} e^{-iH(t_0+t)} |\tilde{h}_A \tilde{h}_B\rangle$$

$$\hookrightarrow |\tilde{h}_A \tilde{h}_B\rangle_{\text{in}} = \lim_{t \rightarrow \infty} e^{-iH(t_0+t)} |\tilde{h}_A \tilde{h}_B\rangle e^{i\varphi_{\text{in}}}$$

(φ_{in} : zunächst beliebige Phase)

analog:

$$|\tilde{p}_1 \dots \tilde{p}_n\rangle_{\text{out}} = \lim_{t \rightarrow \infty} e^{-iH(t_0-t)} |\tilde{p}_1 \dots \tilde{p}_n\rangle e^{i\varphi_{\text{out}}}$$

$$\Rightarrow \langle \tilde{p}_1 \dots \tilde{p}_n | \tilde{k}_A \tilde{k}_B \rangle_{in} = \langle \tilde{p}_1 \dots \tilde{p}_n | S | \tilde{k}_A \tilde{k}_B \rangle$$

$$= \lim_{\tau \rightarrow 0} \langle \tilde{p}_1 \dots \tilde{p}_n | e^{-2iH\tau} | \tilde{k}_A \tilde{k}_B \rangle e^{i(\varphi_{in} - \varphi_{out})}$$

Phasenfaktor:

- steht nicht im Peskin/Schroeders
- irrelevant für $\partial\sigma \propto M^2$
- $S \neq 0$ für $H_{int} \neq 0$

$$2) z.B. \varphi_{in} = (E_1 + E_2)(t_0 + \varepsilon), \varphi_{out} = (E_1 + \dots + E_n)(t_0 - \varepsilon)$$

Auswertung des Matrixelements:

Problem: Wie wissen mich, wie die wechselwirkenden Zustände aussiehen?

$$\text{Vakuum: } |0\rangle = \lim_{\varepsilon \rightarrow (1-i\varepsilon)00} (e^{-iE_0 t} \langle \omega | 0 \rangle)^{-1} e^{-iH\varepsilon} |0\rangle$$

Annahme:

$$\text{Ansatz: } \langle \tilde{k}_A \tilde{k}_B \rangle \sim \lim_{\varepsilon \rightarrow (1-i\varepsilon)00} e^{-iH\varepsilon} \langle \tilde{k}_A \tilde{k}_B \rangle_0$$

$$= \sqrt{2E_A 2E_B} a_A^\dagger a_B^\dagger |0\rangle$$

- im Wesentlichen richtig, aber Beweis nicht trivial

- grundsätzliche Schwierigkeit:

Selbst asymptotisch unterliegen die Teilchen noch Selbstwechselwirkungen, z.B. \circlearrowleft , \circlearrowright .

$$\Rightarrow \langle \tilde{p}_1 \dots \tilde{p}_m | S | \tilde{k}_A \tilde{k}_B \rangle$$

$$\sim \lim_{\tau \rightarrow (1-i\epsilon)\infty} \langle \tilde{p}_1 \dots \tilde{p}_m | e^{-2iH\tau} | \tilde{k}_A \tilde{k}_B \rangle_0 e^{i(E_A+E_B)(t_0+\tau)} \\ * e^{-i(E_1+...E_m)(t_0-\tau)}$$

$$= \lim_{\tau \rightarrow (1-i\epsilon)\infty} \langle \tilde{p}_1 \dots \tilde{p}_m | e^{-iH(t_0-\tau)} e^{-2iH\tau} e^{iH(t_0+\tau)} | \tilde{k}_A \tilde{k}_B \rangle_0$$

$$U(\tau, -\tau) \quad (\text{vgl. S. IV-9})$$

$$= \lim_{\tau \rightarrow (1-i\epsilon)\infty} \langle \tilde{p}_1 \dots \tilde{p}_m | T \left\{ \exp \left(-i \int_{-\tau}^{\tau} dt H_I(t) \right) \right\} | \tilde{k}_A \tilde{k}_B \rangle_0$$

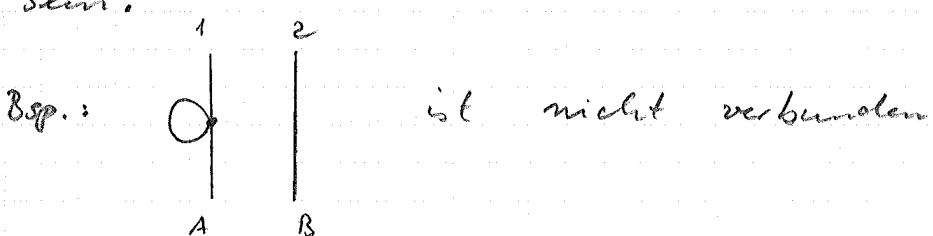
Man kann zeigen, dass sich durch Berücksichtigung des Proportionalitätsfaktors wieder viele Diagramme herauskürzen

$$2) \quad \langle \tilde{p}_1 \dots \tilde{p}_m | iT | \tilde{k}_A \tilde{k}_B \rangle$$

$$= \lim_{\tau \rightarrow (1-i\epsilon)\infty} \left(\langle \tilde{p}_1 \dots \tilde{p}_m | T \left\{ \exp \left(-i \int_{-\tau}^{\tau} dt H_I(t) \right) \right\} | \tilde{k}_A \tilde{k}_B \rangle_0 \right) \text{verbunden, amputiert}$$

„Verbunden“ heißt hier (im Unterschied zu S. IV-20):

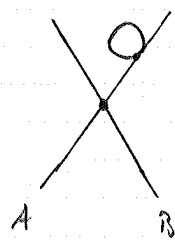
Alle externen Linien müssen mit einerseits verbunden sein.



Viererimpulsverh. an den Vertices

$\Rightarrow p_1 = p_4, p_2 = p_3 \Rightarrow$ trägt nur zur 1 von $S = 1 + iT$ bei, nicht zu T

• "Anpassheit":



Betrachte z.B.

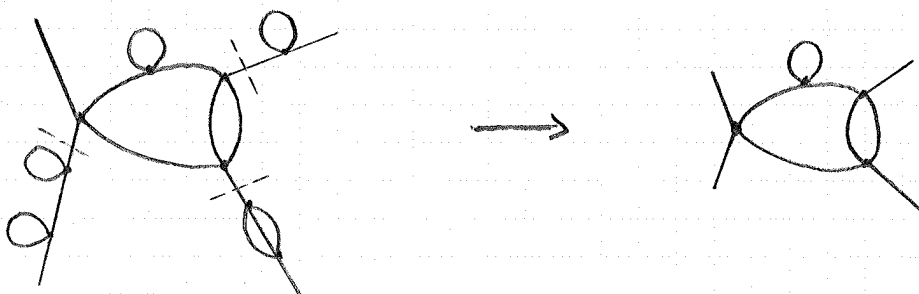
Der Loop \cancel{D}^2 beschreibt eine Selbstwechselwirkung des auslaufenden Teilchens 2.

→ hat nichts mit dem Stoßprozess zu tun und wirkt durch den Proportionalitätsfaktor beim Übergang $|p_1 \dots p_m| \rightarrow |p_2 \dots p_m|_0$ weggekürzt.

2) allgemein:

Gehe von jeder äußeren Linie aus nach innen und entferne die äußeren Diagrammenteile, die durch den Schnitt einer einzigen Linie vom restlichen Diagramm getrennt werden können.

Bsp:

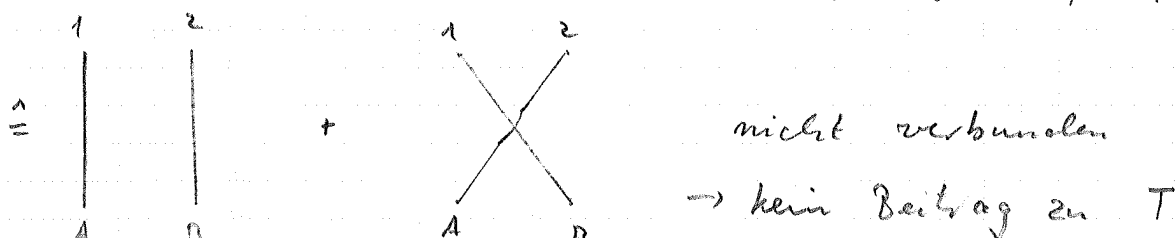


Beispiel:

Störungsentwicklung von $\langle \tilde{p}_1 \tilde{p}_2 | T\{\exp(-i \int dt H_I(t))\} | \tilde{p}_A \tilde{p}_B \rangle_0$ in ϕ^4 -Theorie

0. Ordnung:

$$\begin{aligned} \langle \tilde{p}_1 \tilde{p}_2 | \tilde{p}_A \tilde{p}_B \rangle_0 &= 4VE_1 E_2 E_A E_B \langle 0 | a_1 a_2 a_A^\dagger a_B^\dagger | 0 \rangle \\ &= 4E_A E_B (2\pi)^6 \left\{ \delta(\tilde{p}_1 - \tilde{p}_A) \delta^3(\tilde{p}_2 - \tilde{p}_B) \right. \\ &\quad \left. + \delta^3(\tilde{p}_1 - \tilde{p}_B) \delta^3(\tilde{p}_2 - \tilde{p}_A) \right\} \end{aligned}$$



1. Ordnung:

$$\begin{aligned} \langle \tilde{p}_1 \tilde{p}_2 | T \left(-i \frac{\lambda}{4!} \int d^4x \phi_I^\dagger(x) \right) | \tilde{p}_A \tilde{p}_B \rangle_0 \\ = \langle \tilde{p}_1 \tilde{p}_2 | N \left\{ -i \frac{\lambda}{4!} \int d^4x \phi_I^\dagger(x) + \text{Kontraktionen} \right\} | \tilde{p}_A \tilde{p}_B \rangle_0 \end{aligned}$$

Beachte: äußere Zustände $\neq |0\rangle$

⇒ Beiträge unkontrahierter Operatoren verschwinden nicht automatisch

$$\phi_I = \phi_I^{(+)} + \phi_I^{(-)}, \quad N \sim \langle \tilde{p}_1 \tilde{p}_2 | \phi_I^{(+)} \dots \phi_I^{(-)} | \tilde{p}_A \tilde{p}_B \rangle_0$$

$$\langle \tilde{p}_I^{(+)} | \tilde{p} \rangle_0 = \int \frac{d^3k}{(2\pi)^3} \frac{1}{\sqrt{2\varepsilon_h}} a_k e^{-ik \cdot x} \sqrt{2E_p} a_p^\dagger | 0 \rangle = e^{-ip \cdot x} | 0 \rangle$$

$$\langle \tilde{p} | \phi_I^{(+)}(x) = \langle 0 | e^{ip \cdot x}$$

2. Definiere Kontraktionen mit Zuständen:

$$\phi_T(x) |\tilde{p}\rangle_0 = e^{-ip \cdot x} |0\rangle, \quad \langle \tilde{p}| \phi_T(x) = \langle 0| e^{ip \cdot x}$$

\rightarrow nicht verschwindende Erwartungswerte

= vollständige Kontraktionen von Operatoren und Zuständen

unser Beispiel:

$$T \Phi^* = N \left(\underbrace{\phi \phi \phi \phi}_A + 12 \underbrace{\phi \phi \phi \phi}_B + 3 \underbrace{\phi \phi \phi \phi}_C \right)$$

$$C \rightsquigarrow \langle \tilde{p}_1 \tilde{p}_2 | \underbrace{\phi \phi \phi \phi}_{\text{1}} | \tilde{p}_A \tilde{p}_B \rangle_0 + (\tilde{p}_A \leftrightarrow \tilde{p}_B)$$

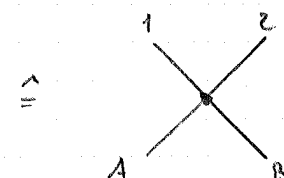
$$\hat{=} 8 \cdot (|| + \times) \quad \text{kein Beitrag zu } T$$

$$B \rightsquigarrow \langle \tilde{p}_1 \tilde{p}_2 | \underbrace{\phi \phi \phi \phi}_{\text{1}} | \tilde{p}_A \tilde{p}_B \rangle_0 + \dots$$

$$\hat{=} \begin{array}{c} 1 \\ \text{O} \\ \text{A} \end{array} \quad \begin{array}{c} 2 \\ \text{B} \\ \vdots \end{array} + \dots \quad \begin{array}{c} n \\ \text{n} \\ \vdots \\ n \end{array} \quad \text{T} \quad (\text{nicht vollst. verbunden})$$

\Rightarrow Nur A trägt zu T bei:

$$\langle \tilde{p}_1 \tilde{p}_2 | \underbrace{\phi \phi \phi \phi}_{\text{1}} | \tilde{p}_A \tilde{p}_B \rangle_0$$



$$\Rightarrow 4! (-i \frac{2}{4!}) \int d^4x e^{-i(p_A + p_B - p_1 - p_2) \cdot x}$$

$$= -i 2 (2\pi)^4 \delta^4(p_A + p_B - p_1 - p_2) = i M (2\pi)^4 \delta^4(p_A + p_B - p_1 - p_2)$$

$$\Rightarrow M = -2 \quad (\text{in 1. Ordnung Störungstheorie})$$

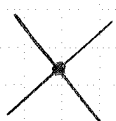
Feynman-Regeln für die invarianten Amplituden (ϕ^2 -Theorie, Impultraum)

$iM = \sum$ verbundene amputierte Diagramme

mit

1.) Propagator: $\overleftarrow{p} \hat{=} \frac{i}{p^2 - m^2 + i\epsilon}$ (interne Linien)

2.) externe Linien: $\overleftarrow{p} \hat{=} 1$

3.) Vertex:  $\hat{=} -iJ$

4.) Viererimpulsorb. an jedem Vertex

5.) Integralreise über alle unbestimmten Impulse

6.) Teile durch Symmetriefaktor

V. 7 Feynman-Regeln für Fermionen

$$\psi(x) = \int \frac{d^3 p}{(2\pi)^3} \frac{1}{\sqrt{2\varepsilon_p}} \sum_s (a_p^\dagger u^s(p) e^{-ip \cdot x} + b_p^\dagger v^s(p) e^{ip \cdot x})$$

$$\begin{matrix} \uparrow \\ a_p^\dagger u^s(p) \\ \downarrow \\ \bar{\psi}^{(+)} \end{matrix} \quad \begin{matrix} \downarrow \\ b_p^\dagger v^s(p) \\ \uparrow \\ \bar{\psi}^{(-)} \end{matrix}$$

$$\bar{\psi}(x) = \begin{matrix} a^\dagger \bar{u} e^{ip \cdot x} & b^\dagger \bar{v} e^{-ip \cdot x} \\ \downarrow & \uparrow \\ \bar{\psi}^{(-)} & \bar{\psi}^{(+)} \end{matrix}$$

Hauptunterschied zu Bosonen:

Minuszeichen bei Verlaufsbelegung

- zeitgeordnetes Produkt:

$$T\{\bar{q}(x), \bar{\bar{q}}(y)\} = \begin{cases} \bar{q}(x) \bar{\bar{q}}(y) & \text{für } x^0 > y^0 \\ -\bar{\bar{q}}(y) \bar{q}(x) & " y^0 > x^0 \end{cases} \quad (\text{wie gehabt})$$

$T\{\bar{q}\bar{q}\}$, $T\{\bar{\bar{q}}\bar{\bar{q}}\}$, mehr Felder analog

- Normalordnung: ebenfalls Minuszeichen bei Vertauschungen

$$\text{z.B.: } N(a_p a_q^\dagger) = -a_q^\dagger a_p$$

$$N(a_p a_q^\dagger a_r^\dagger) = (-1)^2 a_r^\dagger a_p a_q^\dagger = (-1)^3 a_r^\dagger a_q^\dagger a_p$$

- Kombinationen:

$$\overline{\overline{q}(x)} \overline{\bar{q}(y)} := \begin{cases} \{\bar{q}^{(+)}(x), \bar{\bar{q}}^{(+)}(y)\} & \text{für } x^0 > y^0 \\ -\{\bar{\bar{q}}^{(+)}(y), \bar{q}^{(+)}(x)\} & " y^0 > x^0 \end{cases} = S_F(x-y)$$

$$\overline{\overline{q}(x)} \overline{\bar{q}(y)} = \overline{\bar{q}(x)} \overline{\bar{q}(y)} = 0$$

$$\overline{\bar{q}(x)} \overline{\bar{q}(y)} = - \overline{\bar{q}(y)} \overline{\bar{q}(x)} = - S_F(y-x)$$

- 2. Fermion - Propagatoren haben eine „Richtung“ (zwischen \bar{q} und $\bar{\bar{q}}$):

$$S_F(x-y) = \begin{array}{c} \leftarrow \rightarrow \\ x \qquad y \end{array}$$

- mehrere Operationen:

$$N(q_1 q_2 \bar{q}_3 \bar{\bar{q}}_4) = - q_1 \bar{q}_3 N(q_2 \bar{\bar{q}}_4)$$

• Wick'sches Theorem:

(mit den obigen Definitionen wie gehabt)

$$T[\bar{\psi}_1 \bar{\psi}_2 \bar{\psi}_3 \dots] = N[\bar{\psi}_1 \bar{\psi}_2 \bar{\psi}_3 \dots + \text{alle sym. Kontr.}]$$

$$(\Rightarrow \langle 0 | T(\bar{\psi}(x) \bar{\psi}(y)) | 0 \rangle = \langle 0 | \bar{\psi}(x) \bar{\psi}(y) | 0 \rangle = S_F(x-y) \langle 0 | 0 \rangle)$$

• Kontraktion mit Zuständen:

$$\langle \bar{\psi}(x) | \tilde{p}, s \rangle_a = \bar{\psi}(x) \sqrt{2\epsilon_{\tilde{p}} \alpha_{\tilde{p}}} \langle \tilde{p} | 0 \rangle = u^s(\tilde{p}) e^{-ip \cdot x} \langle \tilde{p} | 0 \rangle$$

$$\langle \tilde{p}, s | \bar{\psi}(x) = \langle 0 | v^s(\tilde{p}) e^{ip \cdot x}$$

und analog für $\bar{\psi}$

2) externe Linien in T-Matrix - Elementen:

• einlaufendes Fermion $\dots \xleftarrow{\tilde{p}} \bar{\psi} = u^s(\tilde{p})$

• auslaufendes " $\xleftarrow{\tilde{p}} \dots = \bar{u}^s(\tilde{p})$

• ent. Antifermion $\dots \xrightarrow{\tilde{p}} = \bar{v}^s(\tilde{p})$

• ausl. " $\xrightarrow{\tilde{p}} \dots = v^s(\tilde{p})$

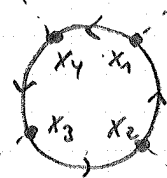
• einfache WW mit skalarem Feld ϕ :

$$L_{WW} = -g \bar{\psi}(x) \gamma_5 \psi(x) \phi(x) \quad (\text{Yukawa-Theorie})$$

Quantisierungssatz: $\bar{\psi}$ und ϕ vertauschen

Vertizes: $\not{p} \gamma^\mu \hat{\gamma}^5 = -ig \quad (\rightarrow \text{Übung})$

geschlossener Fermion-Loop: (a, b, c, d = spinor-Indices)



$$\sim \bar{\psi}_a(x_1) \psi_a(x_1) \bar{\psi}_b(x_2) \psi_b(x_2) \bar{\psi}_c(x_3) \psi_c(x_3) \bar{\psi}_d(x_4) \psi_d(x_4)$$

$$= - S_{F_{da}}(x_4 - x_1) S_{F_{ab}}(x_1 - x_2) S_{F_{bc}}(x_2 - x_3) S_{F_{cd}}(x_3 - x_4)$$

$$= - \text{tr} [S_F(x_4 - x_1) S_F(x_1 - x_2) S_F(x_2 - x_3) S_F(x_3 - x_4)]$$

2) allgemeine Regel für geschlossene Fermion-Loops

- Spur im Dirac-Raum
- zusätzliches Minus-Zeichen

• Sei $| \vec{p}, \vec{k} \rangle \sim a_{\vec{p}}^+ a_{\vec{k}}^+ | 0 \rangle$

$$\Rightarrow \bar{\psi}(x) \psi(y) | \vec{p}, \vec{k} \rangle \sim \bar{\psi}(x) \psi(y) a_{\vec{p}}^+ a_{\vec{k}}^+ | 0 \rangle = (\bar{\psi}(x) | \vec{k} \rangle)(\psi(y) | \vec{p} \rangle)$$

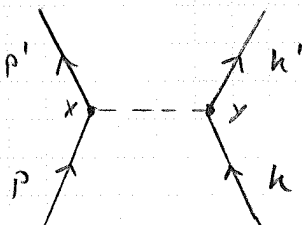
$$\bar{\psi}(x) \psi(y) | \vec{p}, \vec{k} \rangle \sim - \bar{\psi}(x) \psi(y) a_{\vec{k}}^+ a_{\vec{p}}^+ | 0 \rangle = - (\bar{\psi}(x) | \vec{p} \rangle)(\psi(y) | \vec{k} \rangle)$$

und analog für auslauflende Teilchen

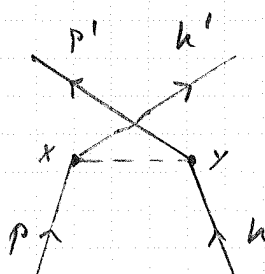
Konsequenz:

zusätzliches relatives Minuszeichen zwischen allen

Diagrammen



und



V.8 Feynman-Regeln der QED

Lagrange-Dichte der QED:

$$L_{QED} = \bar{\psi} (i\gamma^\mu - m) \psi - \frac{1}{4} F_{\mu\nu} F^{\mu\nu} - e \bar{\psi} \gamma^\mu \psi A_\mu$$

↓ ↓ ↓

Elektron-Propagator Photon-Prop. Elektron-Photon-WW

(1) Elektron-Propagator $\frac{P}{\cancel{P}} = i \frac{\cancel{P} + m}{p^2 - m^2 + i\varepsilon}$

(2) Photon-Propagator $\mu_{\mu\nu} = \frac{-ig_{\mu\nu}}{q^2 + i\varepsilon}$

(3) externe Fermion-Linien:

- $u^s(p)$ für einlaufende e^- mit Impuls \vec{p} und Spin s

- $\bar{u}^s(p)$ " auslaufende " " " " " "

- $v^s(p)$ " einlaufende e^+ " " " " " "

- $\bar{v}^s(p)$ " auslaufende " " " " " "

(4) externe Photon-Linien:

- $E_2(\vec{p})$ für einlaufende γ mit Impuls \vec{p} und Pol. A

- $E_2^*(\vec{p})$ " auslaufende " " " " " "

(5) Elektron-Photon-Vertex: $\Gamma_{\mu\nu\rho} = -ie\gamma^\rho$

(6) Verzerrimpulsverhältnung an jedem Vertex

(7) Integration über alle unbestimmten Impulsen

(8) Spur und Extra-Kreuzzeichen für geschlossene Fermion-Loops

(9) Rel. Minuskalien beim Auslaufen zweier externer Fermionen